

## 6. 地 盤



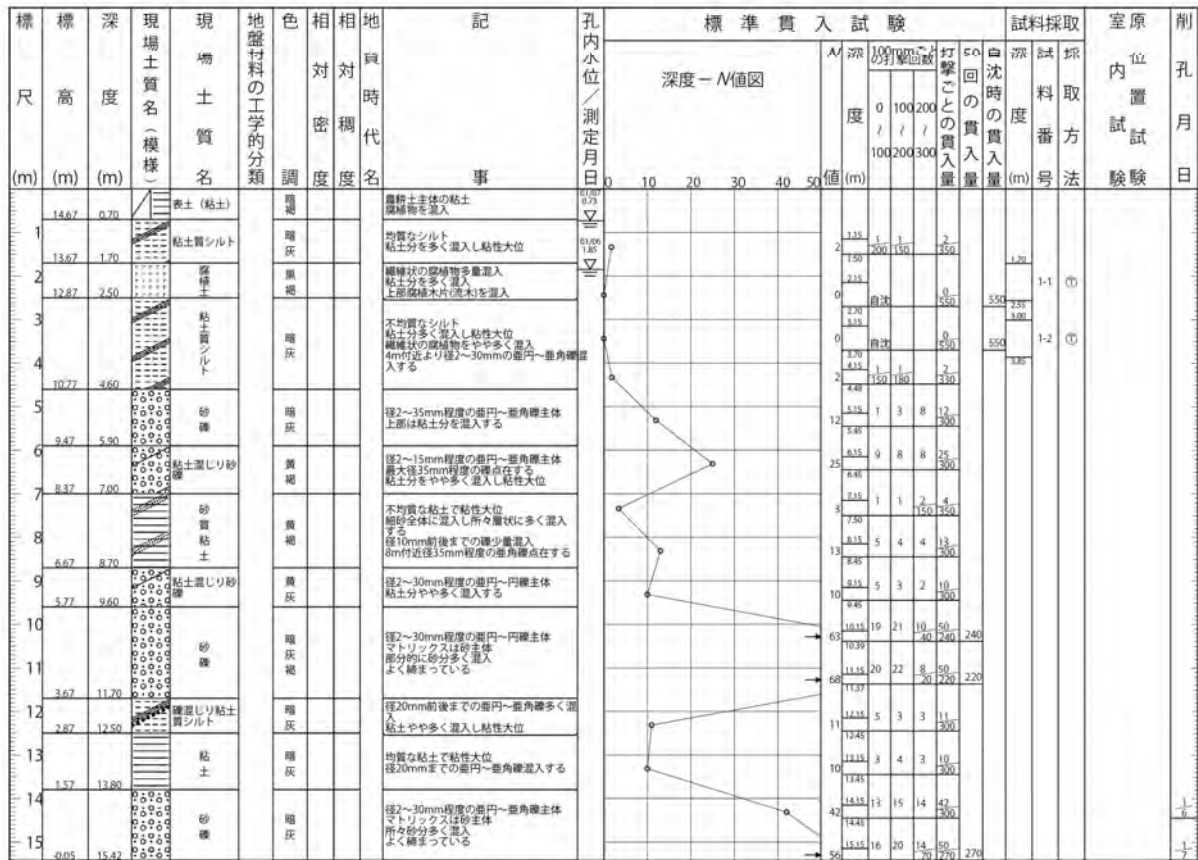
## 6. 地盤

### 6.1 調査結果

#### 6.1.1 既存資料調査

計画地周辺におけるボーリングの既存資料調査結果は、図 6.1.1-1～4 に示すとおりである。

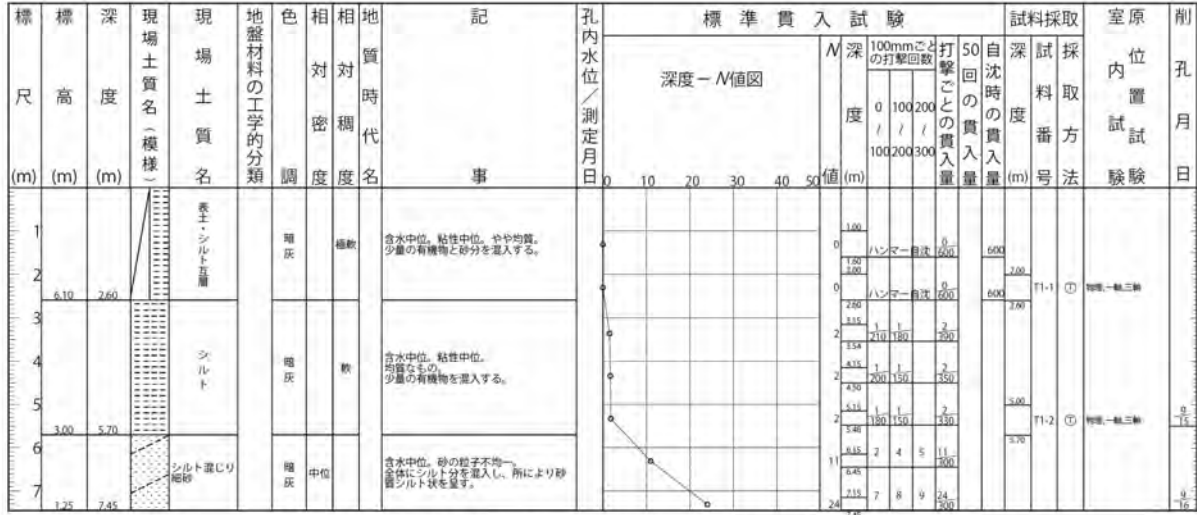
|        |                                 |                              |  |                         |          |      |
|--------|---------------------------------|------------------------------|--|-------------------------|----------|------|
| ボーリング名 | No.1 (ボーリングNo1) (管理番号=11500024) |                              | 調査位置                                   |                         | 北緯       |      |
| 発注機関   |                                 |                              |  | 調査期間                    | 東経       |      |
| 調査業者名  | 電話                              | 主任技師                         | 現場代理人                                  | コア鑑定者                   | ボーリング責任者 |      |
| 孔口標高   | T.P. 15.37m                     | 角<br>上下<br>180°<br>90°<br>0° | 方位<br>北<br>0°<br>東<br>90°<br>西<br>180° | 地盤勾配<br>鉛直<br>90°<br>0° | 使用機種     | エンジン |
| 総削孔長   | 15.00m                          |                              |  | ポンプ                     |          |      |



出典:「埼玉県ボーリング柱状図」(埼玉県地理環境情報WebGIS(Atlas Eco Saitama))

図 6.1.1-1 ボーリング柱状図 (No.1)

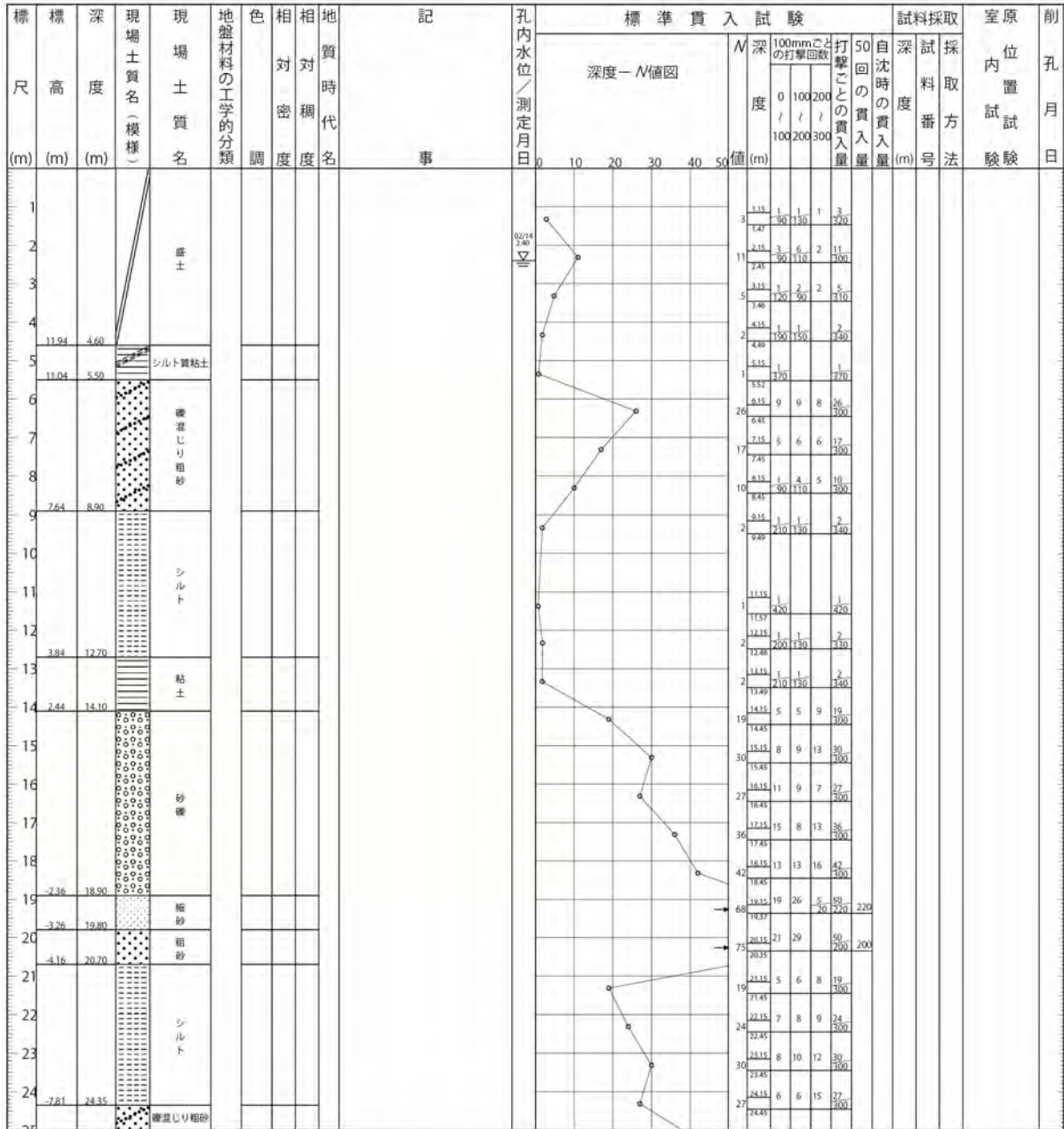
|        |                                  |                              |   |                             |                     |          |                |
|--------|----------------------------------|------------------------------|---|-----------------------------|---------------------|----------|----------------|
| ボーリング名 | No1(出丸堀)(BED0001)(管理番号=11600177) |                              | 調査位置  |                             |                     | 北緯       |                |
| 発注機関   |                                  |                              |   | 調査期間                        |                     |          |                |
| 調査業者名  | 電話                               | 主任技師                         | 地盤調査技師<br>登録番号                                      | 現場代理人                       | コア鑑定者               | ボーリング責任者 | 地盤調査技師<br>登録番号 |
| 孔口標高   | T.P.<br>8.7m                     | 角<br>上下<br>180°<br>90°<br>0° | 方位<br>北<br>0°<br>東<br>90°<br>南<br>180°<br>西<br>270° | 地盤勾配<br>水平0°<br>鉛直90°<br>0° | 使用機種<br>試錐機<br>エンジン |          |                |
| 総削孔長   | 7.45m                            |                              |   | ポンプ                         |                     |          |                |



出典:「埼玉県ボーリング柱状図」(埼玉県地理環境情報WebGIS(Atlas Eco Saitama))

図 6.1.1-2 ボーリング柱状図(No.2)

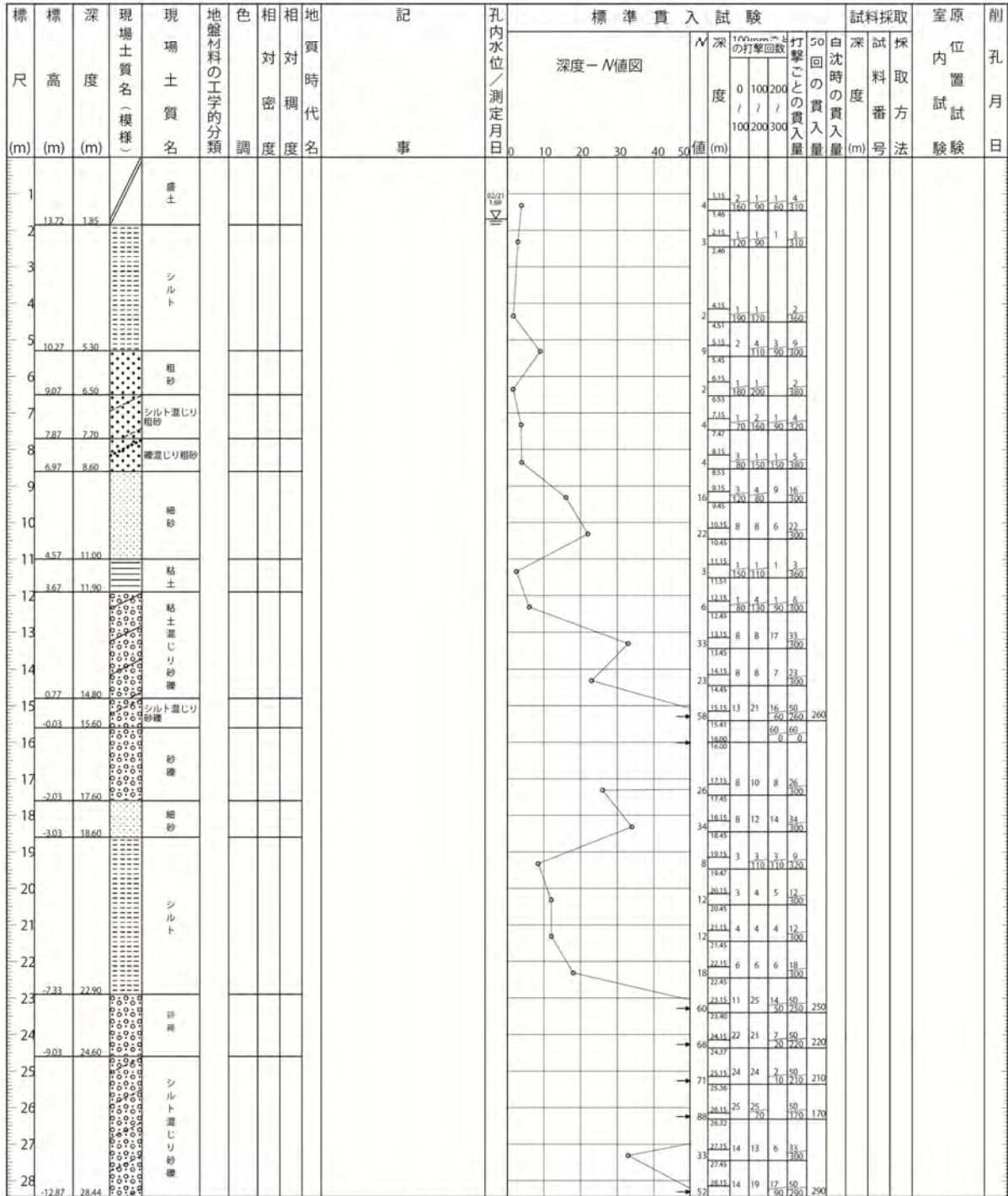
|                          |  |   |
|--------------------------|--|---|
| ボーリング名<br>(管理番号=2390009) | 調査位置                                   | 北緯  |
| 発注機関                     | 調査期間                                   | 東経  |
| 調査業者名<br>電話              | 主任技師<br><small>地盤調査技士<br/>資格番号</small> | 現代理人<br><small>地盤調査技士<br/>資格番号</small>              |
| 孔口標高<br>T.P.<br>16.536m  | 角<br>度<br>180°<br>上下<br>0°             | 方位<br>北<br>0°<br>東<br>90°<br>西<br>270°<br>南<br>180° |
| 総削孔長<br>32.45m           | 地盤勾配<br>鉛直<br>90°<br>水平<br>0°          | 使用機種<br>試錐機<br>エンジン                                 |
|                          |  | コ定者<br><small>地盤調査技士<br/>資格番号</small>               |
|                          |  | ボーリング責任者<br><small>地盤調査技士<br/>資格番号</small>          |
|                          |  | ポンプ   |



出典:「埼玉県ボーリング柱状図」(埼玉県地理環境情報WebGIS(Atlas Eco Saitama))

図 6.1.1-3 ボーリング柱状図(No.3)

|                           |                                   |   |
|---------------------------|-----------------------------------|---|
| ボーリング名<br>(管理番号=23900008) | 調査位置                              | 北緯  |
| 発注機関                      | 調査期間                              | 東経  |
| 調査業者名<br>電話               | 主任技師<br>地盤調査士<br>登録番号             | 現場代理人<br>地盤調査士<br>登録番号                              |
| 孔口標高<br>T.P.<br>15.571m   | 角<br>上下<br>度<br>180°<br>90°<br>0° | 方位<br>北<br>0°<br>東<br>90°<br>南<br>180°<br>西<br>270° |
| 総削孔長<br>28.44m            | 地盤勾配<br>鉛直<br>90°<br>0°           | 使用機種<br>試錐機<br>エンジン                                 |
|                           |                                   | コ定ア者<br>地盤調査士<br>登録番号                               |
|                           |                                   | ボーリング責任者<br>地盤調査士<br>登録番号                           |
|                           |                                   | ポンプ   |



出典:「埼玉県ボーリング柱状図」(埼玉県地理環境情報WebGIS(Atlas Eco Saitama))

図 6.1.1-4 ボーリング柱状図(No.4)

### 6.1.2 現地調査

計画地におけるボーリングの現地調査結果は、図 6.1.1-5~16 に示すとおりである。

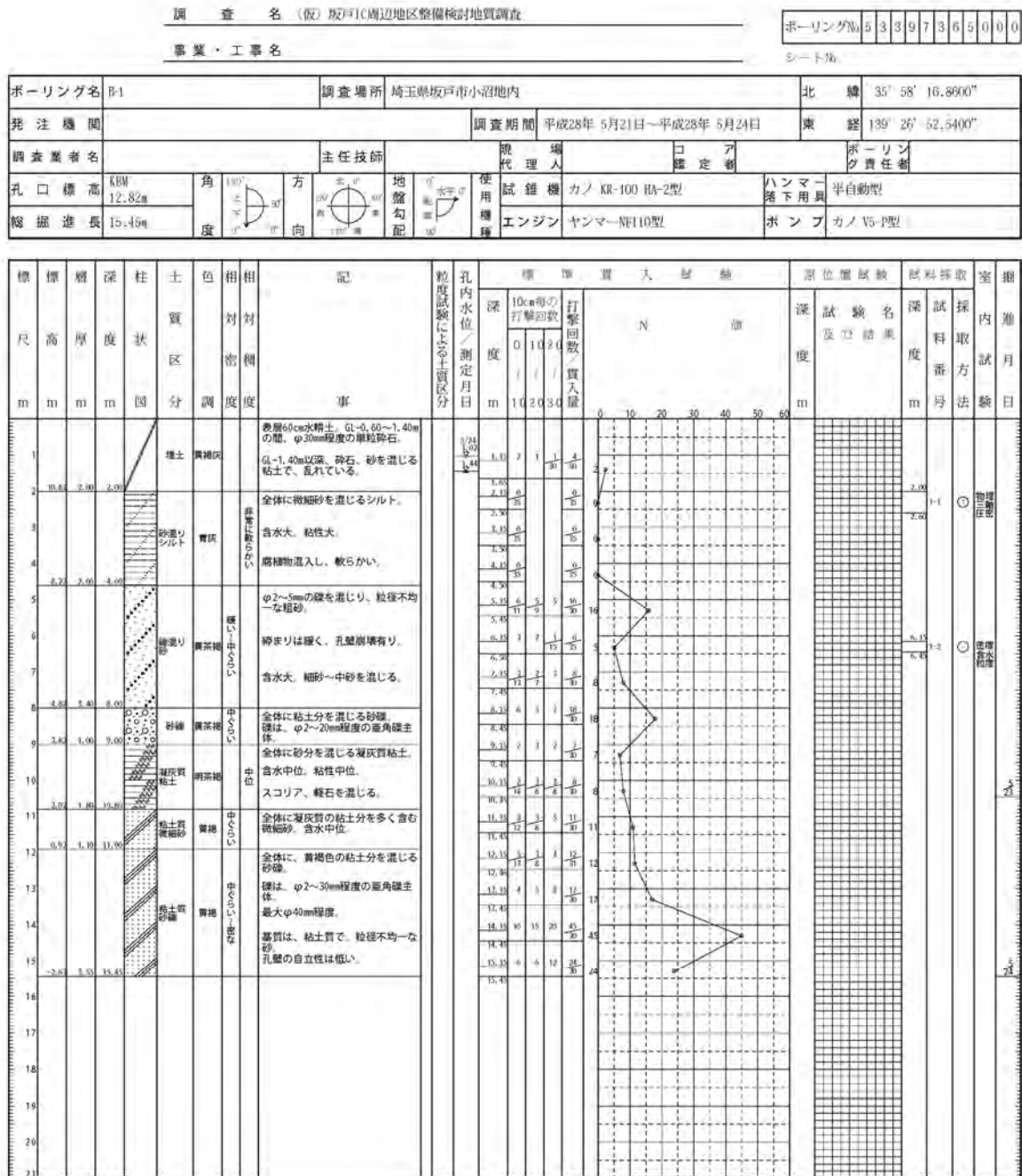


図 6.1.1-5 ボーリング柱状図(B-1)

|        |        |        |      |                         |      |          |                   |          |
|--------|--------|--------|------|-------------------------|------|----------|-------------------|----------|
| ボーリング名 | B2     |        | 調査場所 | 埼玉県坂戸市小沼地内              |      | 北緯       | 35° 58' 20.1000"  |          |
| 発注機関   |        |        | 調査期間 | 平成28年 5月25日～平成28年 5月27日 |      | 東経       | 139° 26' 57.7000" |          |
| 調査業者名  |        |        | 主任技師 | 現代理人                    | 口ア   | ボーリング責任者 |                   |          |
| 孔口標高   | KBH    | 12.41m | 角    | 方                       | 地盤勾配 | 使用機種     | 試錐機               | エンジン     |
| 総掘進長   | 16.45m |        | 度    | 向                       | 度    |          | カノ KR-100 HA-2型   | ハンマ落下用具  |
|        |        |        |      |                         |      |          | カンマ-NF110型        | ポンプ      |
|        |        |        |      |                         |      |          |                   | カノ V5-P型 |

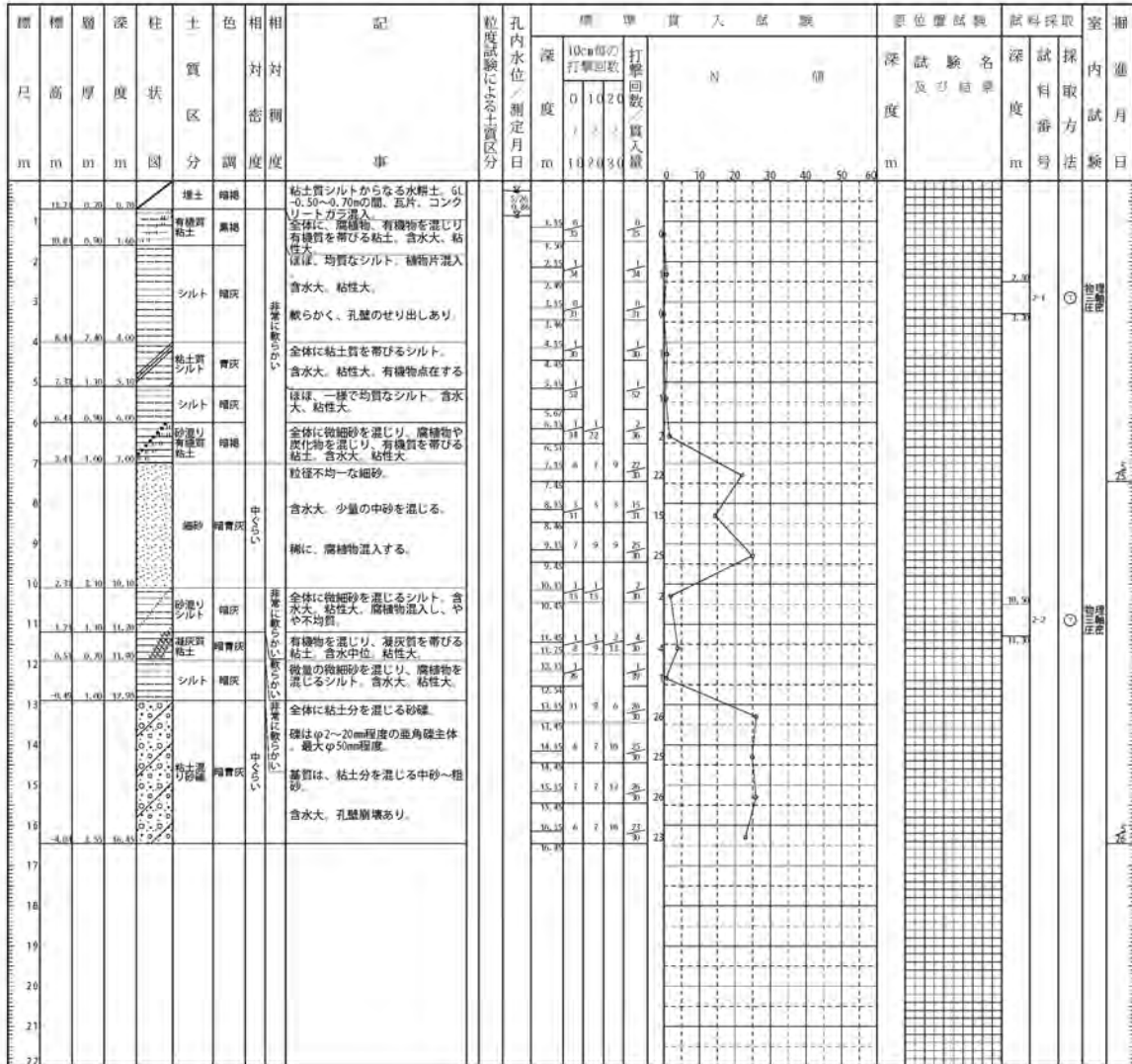


図 6.1.1-6 ボーリング柱状図(B-2)



|        |              |        |        |                         |          |                  |                   |                   |
|--------|--------------|--------|--------|-------------------------|----------|------------------|-------------------|-------------------|
| ボーリング名 | B-3          |        | 調査場所   | 埼玉県坂戸市小沼地内              |          | 北緯               | 35° 58' 25.5700"  |                   |
| 発注機関   |              |        | 調査期間   | 平成28年 0月 1日～平成28年 6月 3日 |          | 東経               | 139° 27' 04.6300" |                   |
| 調査業者名  |              |        | 主任技師   |                         |          | コア<br>測定者        | ボーリン<br>グ責任者      |                   |
| 孔口標高   | KBM<br>12.9m | 角<br>度 | 方<br>向 | 地盤<br>勾配                | 使用<br>機種 | 試錐機              | エンジン              | ハンマー<br>落下用具      |
| 総掘進長   | 25.4m        |        |        |                         |          | カンノ KR-100 HA-2型 | カンノ NF10型         | 半自動型<br>カンノ V5-P型 |

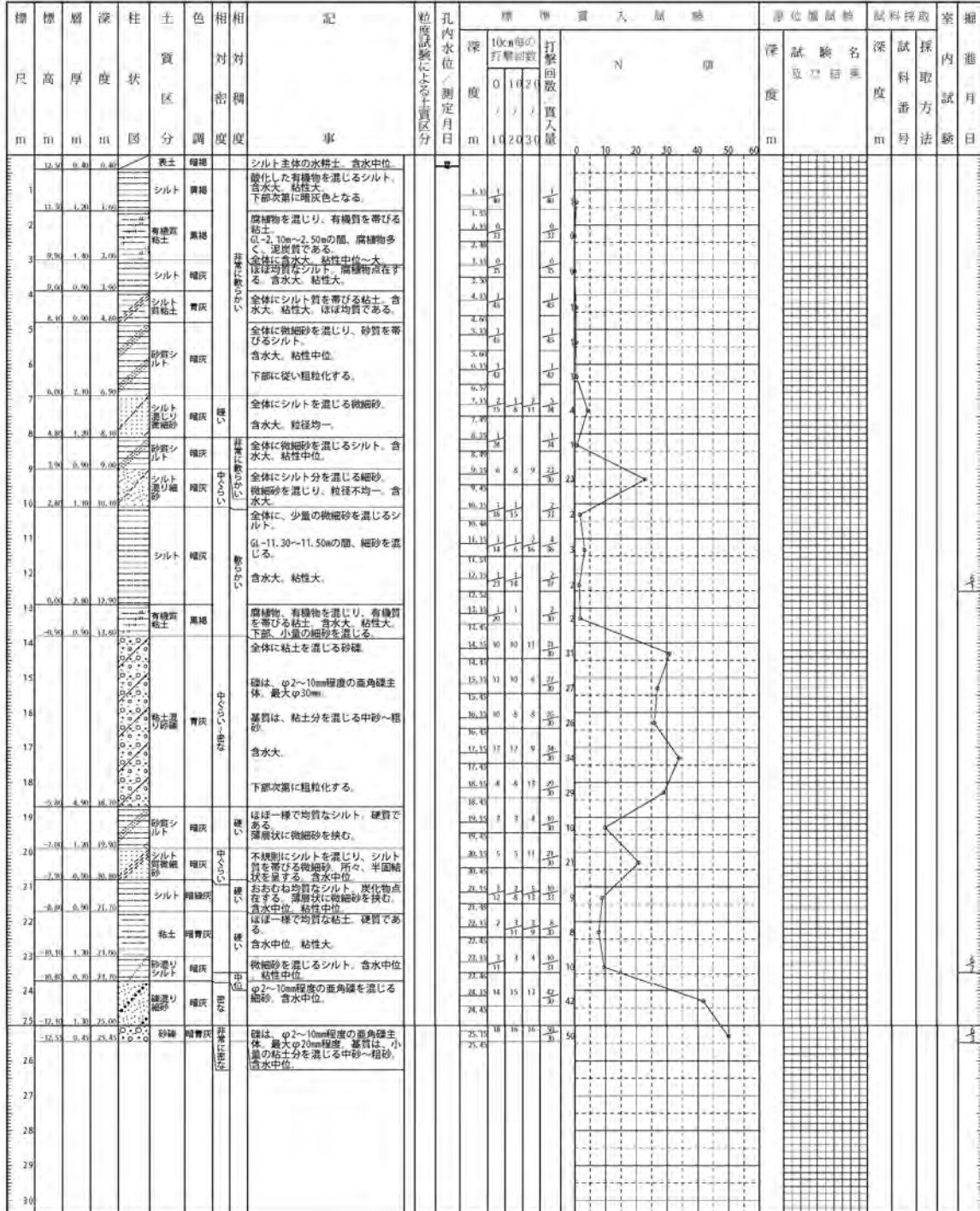


図 6.1.1-7 ボーリング柱状図(B-3)

|        |               |      |                           |      |                   |
|--------|---------------|------|---------------------------|------|-------------------|
| ボーリング名 | B-4           | 調査場所 | 埼玉県坂戸市小沼地内                | 北緯   | 35° 58' 30.4500"  |
| 発注機関   |               | 調査期間 | 平成28年 5月27日～平成28年 5月31日   | 東経   | 139° 27' 12.4500" |
| 調査業者名  |               | 主任技師 |                           | 代理人  | ボーリング責任者          |
| 孔口標高   | KBM<br>13.12m | 角    | 10°<br>30°<br>90°<br>180° | 方    | 北<br>東<br>南<br>西  |
| 検掘進長   | 25.44m        | 地盤勾配 |                           | 使用機種 |                   |
|        |               | 試験機  | カノ RR-100 HA 2型           | ハンマー | 半自動型              |
|        |               | エンジン | ヤンマー-NF110型               | ポンプ  | カノ V5-T型          |

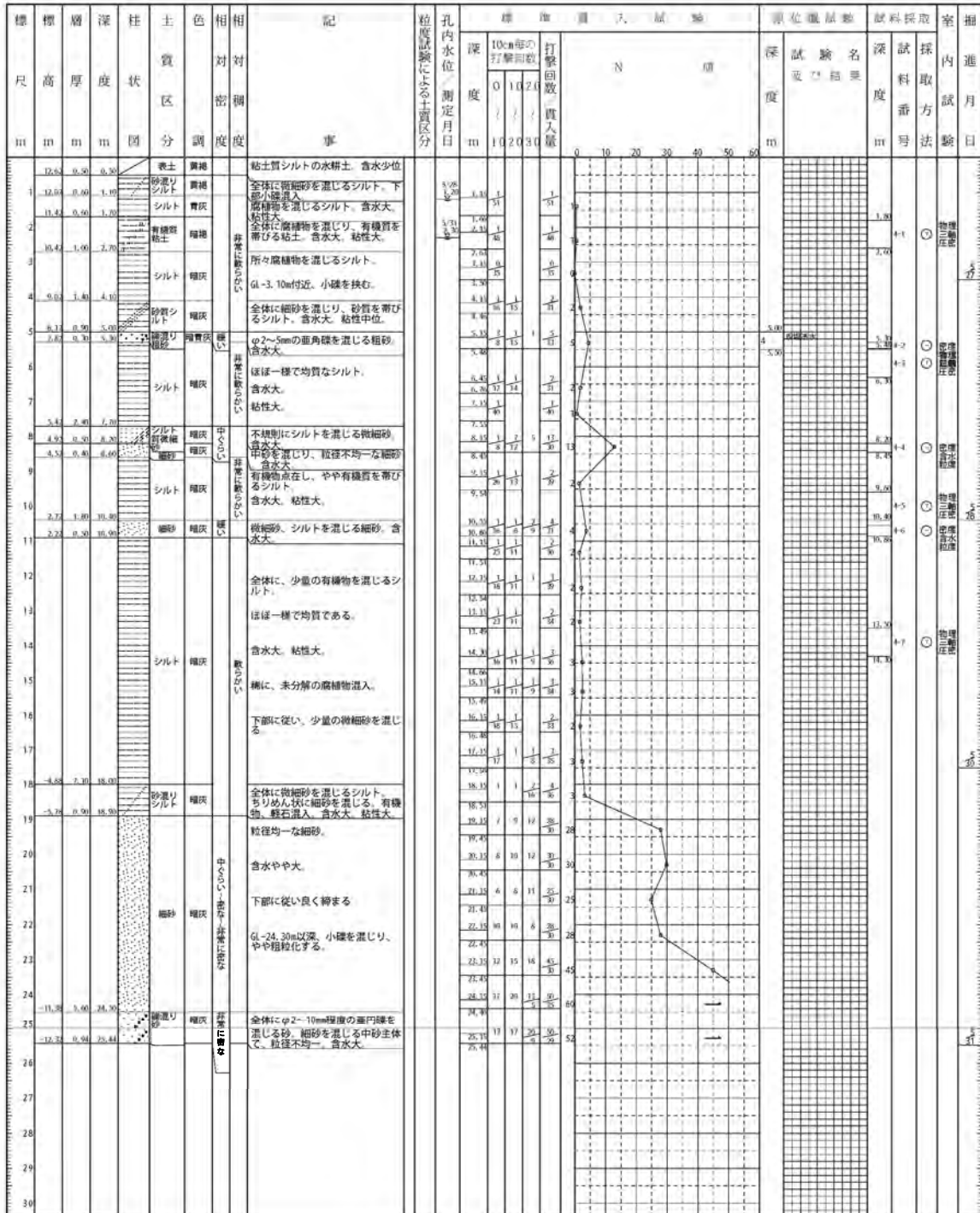


図 6.1.1-8 ボーリング柱状図(B-4)

|          |            |      |                         |         |                   |
|----------|------------|------|-------------------------|---------|-------------------|
| ボーリング名   | B-5        | 調査場所 | 埼玉県坂戸市小沼地内              | 北緯      | 35° 58' 26.6800"  |
| 発注機関     |            | 調査期間 | 平成28年 6月 4日～平成28年 6月 7日 | 東経      | 139° 25' 40.0900" |
| 調査業者名    |            | 主任技師 |                         | 現場代理人   | コアア 鑑定者           |
| ボーリング責任者 |            | 試験機  | カノ KR-100 HA-2型         | ハンマ落下用具 | 半自動型              |
| 孔口標高     | KBM 13.84m | 角    | 90°                     | 方       | 北                 |
| 総掘進長     | 19.45m     | 度    | 0°                      | 向       | 北                 |
|          |            | 地盤勾配 | 0%                      | 使用機種    | エンジン ヤンマー-NF110型  |
|          |            |      |                         | ポンプ     | カノ V5-P型          |

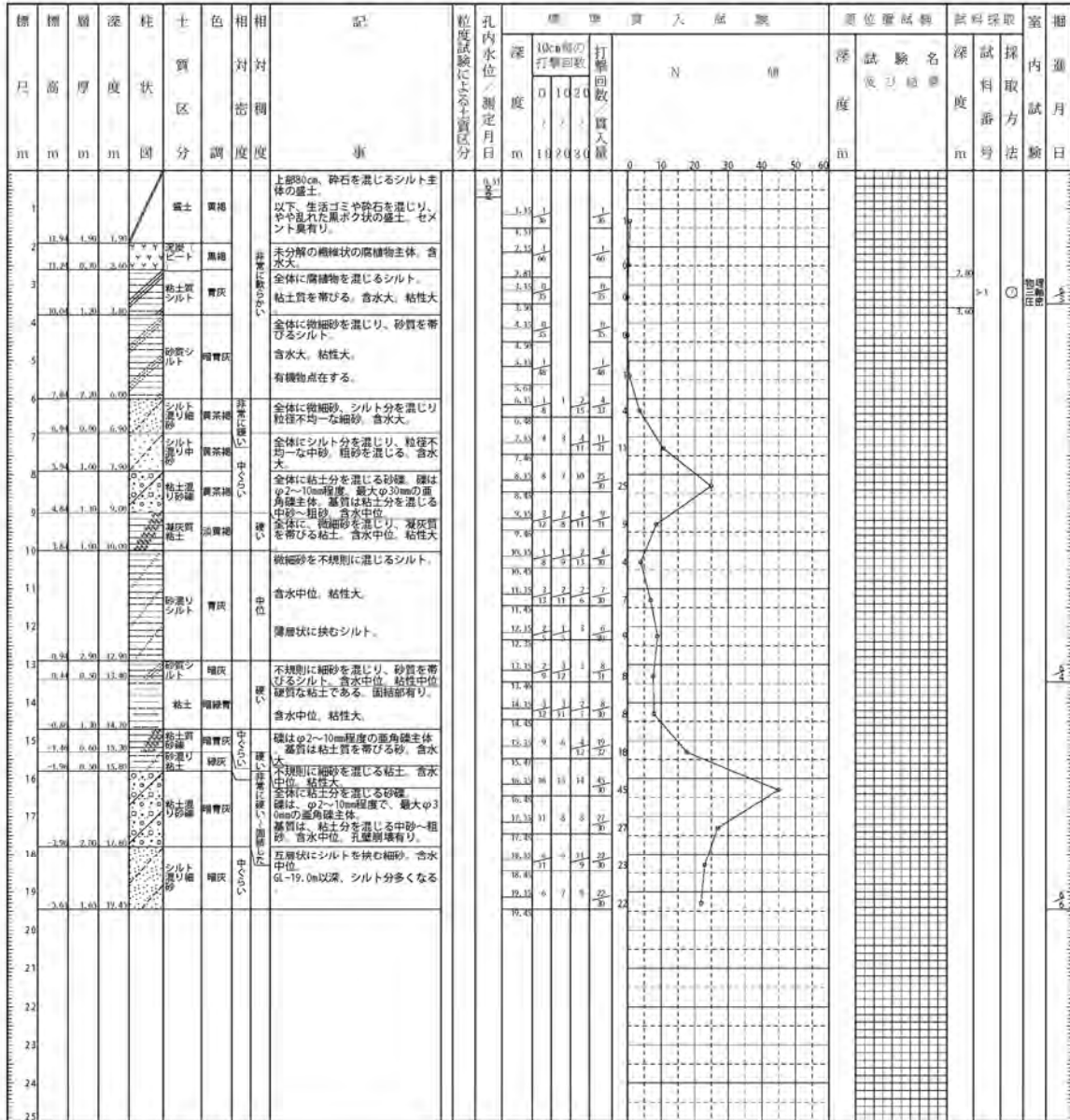


図 6.1.1-9 ボーリング柱状図(B-5)

|          |            |      |                         |         |                   |
|----------|------------|------|-------------------------|---------|-------------------|
| ボーリング名   | B-6        | 調査場所 | 埼玉朝坂戸市小沼地内              | 北緯      | 35° 58' 28.7700"  |
| 発注機関     |            | 調査期間 | 平成28年 6月23日～平成28年 6月27日 | 東経      | 139° 26' 42.0000" |
| 調査業者名    |            | 主任技師 |                         | 現場代理人   | コア標準              |
| ボーリング責任者 |            | 試験機  | 利根TS-100                | ハンマ落下用具 | 半自動型              |
| 孔口標高     | KBM 13.48m | 角    | 90°                     | エンジン    | EA11-N            |
| 掘進長      | 15.45m     | 方    | 90°                     | ポンプ     | ND40D             |

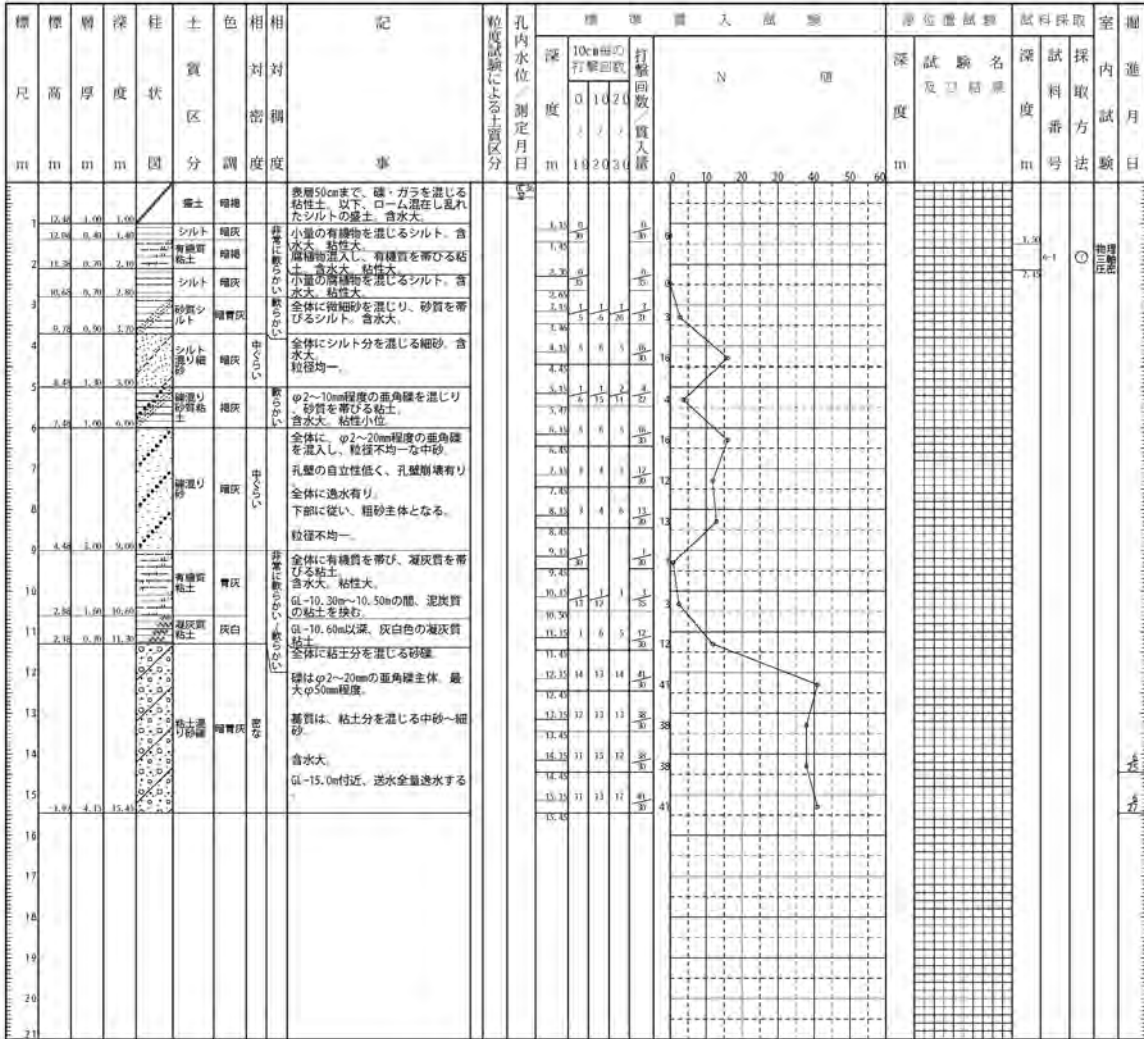


図 6.1.1-10 ボーリング柱状図(B-6)

|        |        |   |      |            |                         |      |                  |                   |  |
|--------|--------|---|------|------------|-------------------------|------|------------------|-------------------|--|
| ボーリング名 | B-7    |   | 調査場所 | 埼玉県坂戸市小沼地内 |                         | 北緯   | 35° 58' 35.1500" |                   |  |
| 発注機関   |        |   |      | 調査期間       | 平成28年 5月26日～平成28年 5月27日 |      | 東経               | 139° 26' 48.4700" |  |
| 調査業者名  |        |   | 主任技師 | 代理人        |                         | 口    | ア                |                   |  |
| 孔口標高   | BM     | 角 | 方    | 地盤勾配       | 使用機種                    | ハンマー | ボーリング            |                   |  |
| 総掘進長   | 22.45m | 度 | 向    | 試錐機        | 利根TS-100                | 落下用具 | 半自動型             |                   |  |
|        |        |   |      | エンジン       | EA11-N                  | ポンプ  | ND40D            |                   |  |

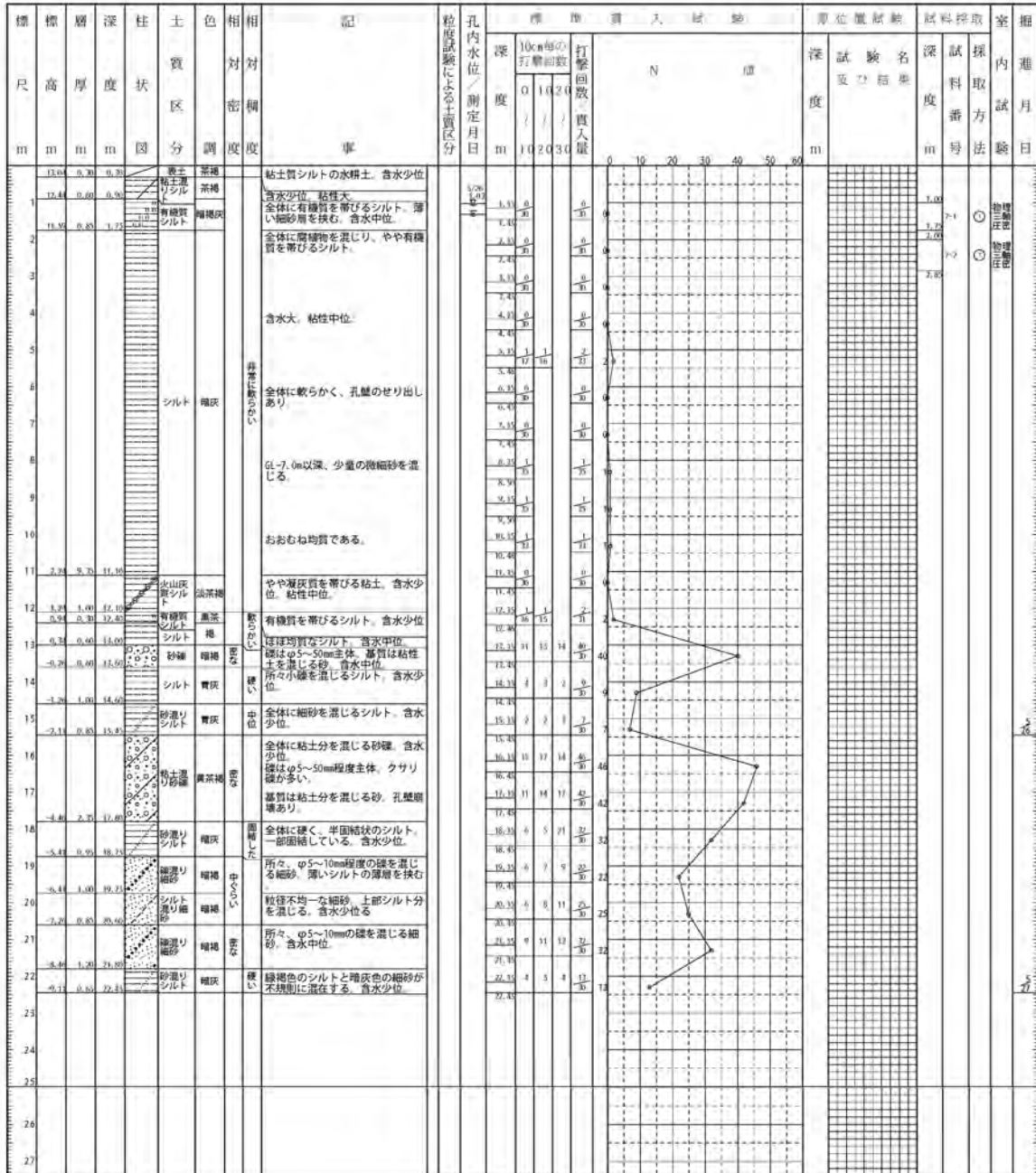


図 6.1.1-11 ボーリング柱状図(B-7)

|        |               |      |                         |       |                   |
|--------|---------------|------|-------------------------|-------|-------------------|
| ボーリング名 | B8            | 調査場所 | 埼玉県坂戸市小沼地内              | 北緯    | 35° 58' 38.3400"  |
| 発注機関   |               | 調査期間 | 平成28年 5月20日～平成28年 5月24日 | 東経    | 139° 26' 51.8500" |
| 調査業者名  |               | 主任技師 |                         | 現場代理人 |                   |
| 孔口標高   | KBM<br>14.30m | 角    | 方                       | 地盤勾配  | 使用機種              |
| 総掘進長   | 28.45m        | 度    | 向                       | 度     | 試錐機               |
|        |               |      |                         |       | エンジン              |
|        |               |      |                         |       | ハンマー              |
|        |               |      |                         |       | ポンプ               |

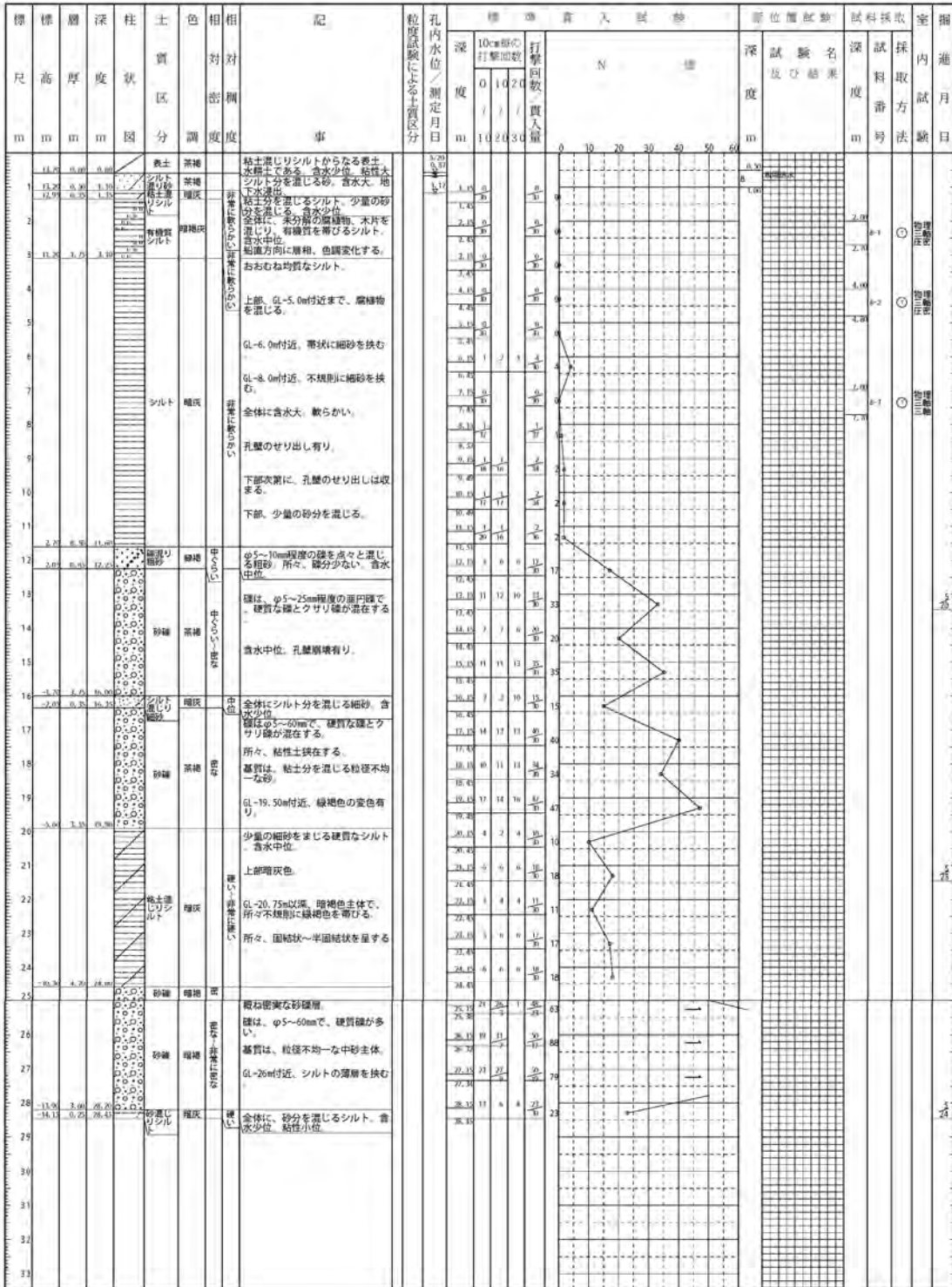


図 6.1.1-12 ボーリング柱状図(B-8)

|          |        |      |                        |      |                   |
|----------|--------|------|------------------------|------|-------------------|
| ボーリング名   | B-9    | 調査場所 | 埼玉県坂戸市小沼地内             | 北緯   | 35° 58' 30.3400"  |
| 発注機関     |        | 調査期間 | 平成28年 5月31日～平成28年 6月1日 | 東経   | 139° 26' 31.4000" |
| 調査業者名    |        | 主任技師 |                        | 代理人  | 口 隆 定 者           |
| ボーリング責任者 |        | 試験機  | 利根TS-100               | ハンマー | 半自動型              |
| エンジン     | EA11-N | ポンプ  | ND40D                  |      |                   |

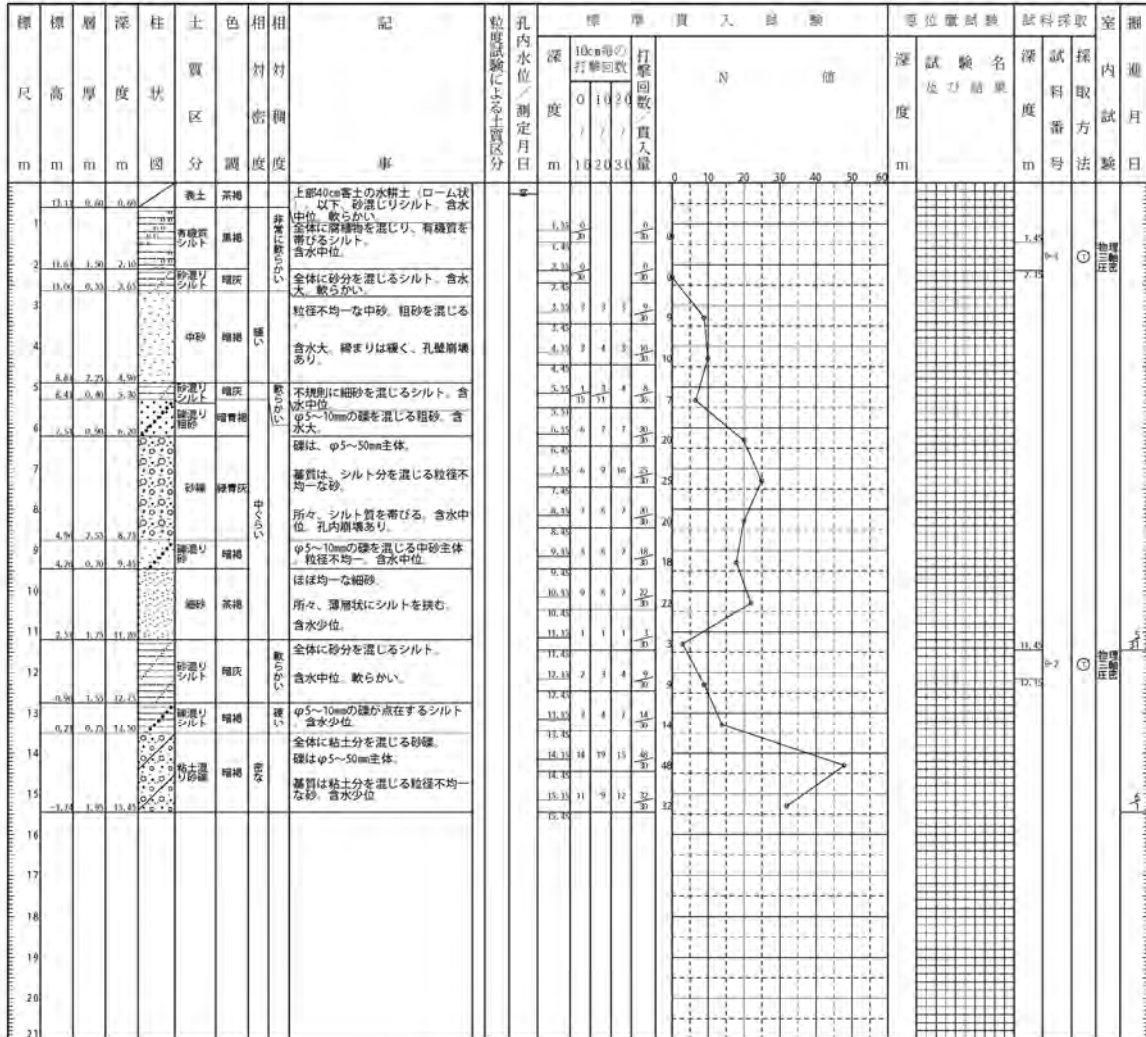


図 6.1.1-13 ボーリング柱状図 (B-9)

|        |               |      |                         |      |                   |
|--------|---------------|------|-------------------------|------|-------------------|
| ボーリング名 | B-10          | 調査場所 | 埼玉県坂戸市小沼地内              | 北緯   | 35° 58' 33.3400"  |
| 発注機関   |               | 調査期間 | 平成28年 6月28日～平成28年 6月29日 | 東経   | 139° 26' 28.7700" |
| 調査業者名  |               | 主任技師 |                         | 現代理人 | 口ア                |
| 孔口標高   | KBM<br>13.98m | 角    | 180°                    | 方    | 北                 |
| 検掘進長   | 16.45m        | 度    | 0°                      | 向    | 北                 |
|        |               | 地盤勾配 |                         | 使用機種 | 利根TS-100          |
|        |               |      |                         | エンジン | EA11-N            |
|        |               |      |                         | ハンマ  | 半自動型              |
|        |               |      |                         | ポンプ  | ND40D             |

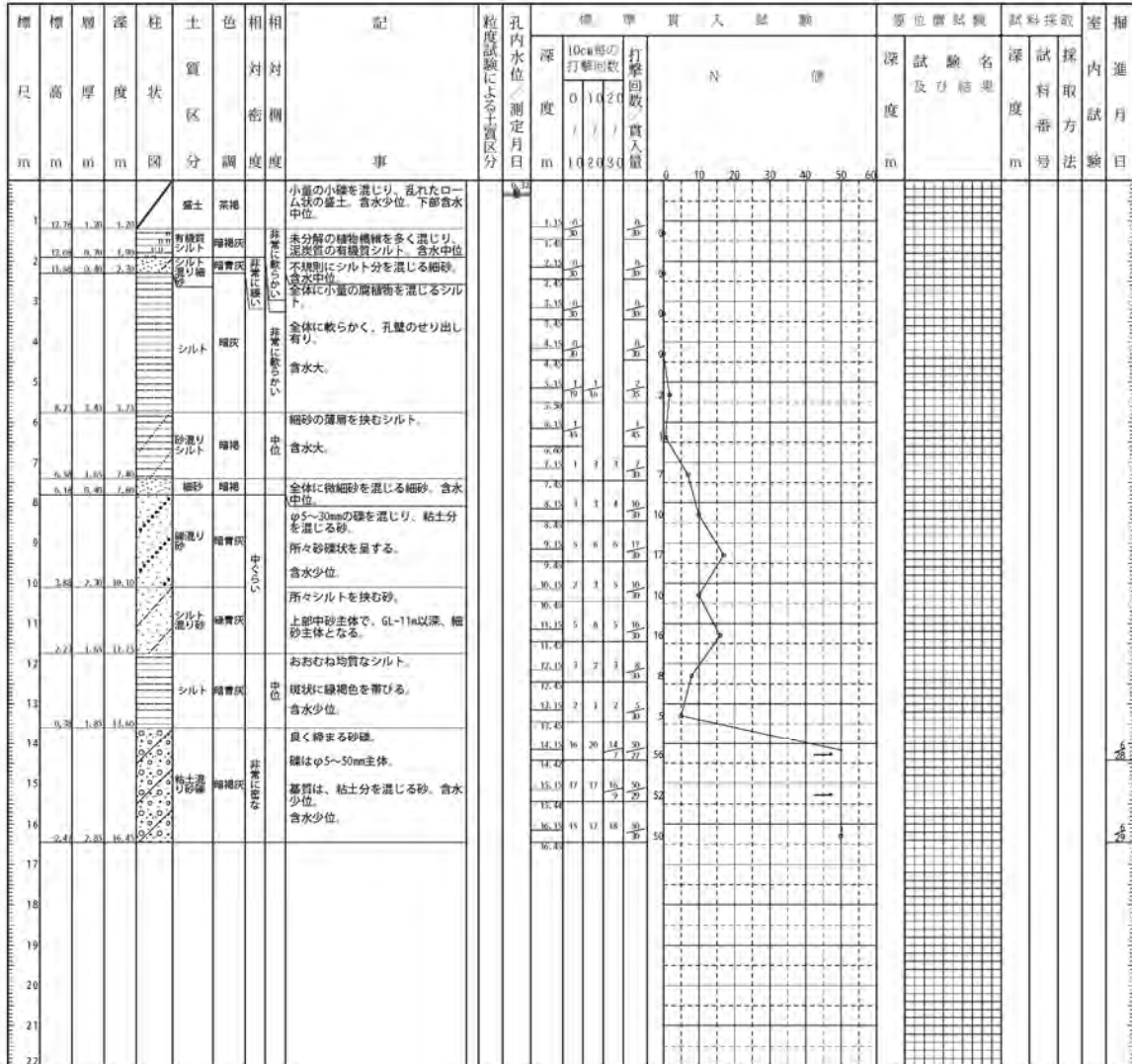


図 6.1.1-14 ボーリング柱状図(B-10)



|          |            |      |                         |         |                   |
|----------|------------|------|-------------------------|---------|-------------------|
| ボーリング名   | B-11       | 調査場所 | 埼玉県坂戸市小沼地内              | 北緯      | 35° 58' 40.3100"  |
| 発注機関     |            | 調査期間 | 平成28年 5月28日～平成28年 5月30日 | 東経      | 139° 25' 95.9000" |
| 調査業者名    |            | 主任技師 |                         | 現場代理人   | コア決定者             |
| ボーリング責任者 |            | 試験機  | 利根TS-100                | ハンマ落下用具 | 半自動型              |
| 孔口標高     | KBM 13.59m | 角    | 100°                    | 方       | 北                 |
| 掘進長      | 18.45m     | 度    | 0°                      | 向       | 北                 |
|          |            | 地盤勾配 | 0°                      | 使用機種    |                   |
|          |            |      |                         | エンジン    | EA11-N            |
|          |            |      |                         | ポンプ     | ND40D             |

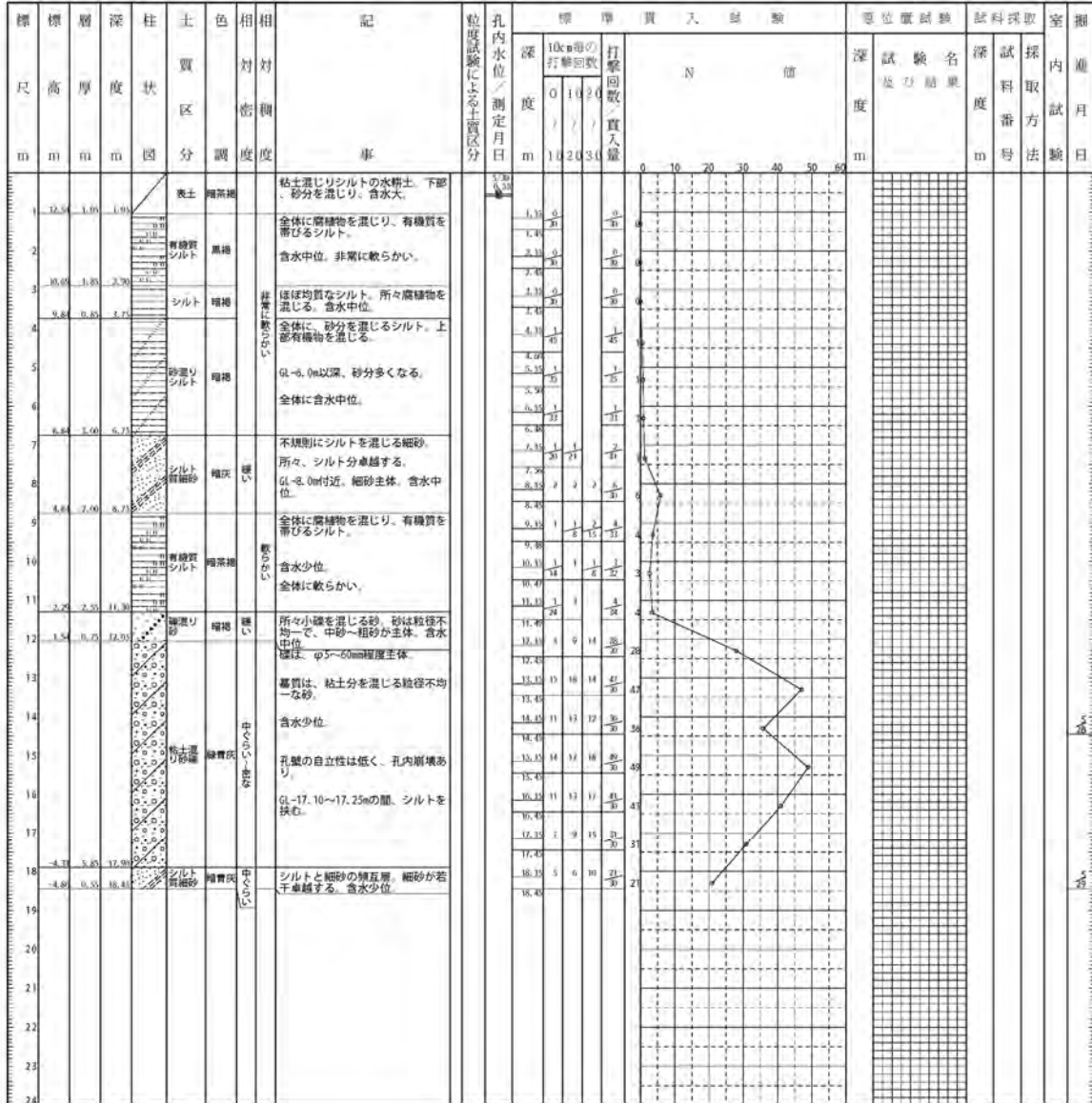


図 6.1.1-15 ボーリング柱状図(B-11)

|        |        |  |      |                         |  |      |                   |  |
|--------|--------|--|------|-------------------------|--|------|-------------------|--|
| ボーリング名 | B-12   |  | 調査場所 | 埼玉県坂戸市小沼地内              |  | 北緯   | 35° 58' 31.5700"  |  |
| 発注機関   |        |  | 調査期間 | 平成28年 6月30日～平成28年 7月 5日 |  | 東経   | 139° 26' 56.7100" |  |
| 調査業者名  |        |  | 主任技師 |                         |  | 場代理人 | □ 監定者             |  |
| ボーリング機 | KBH    |  | 角    |                         |  | 試錐機  | 利根TS-100          |  |
| 孔口標高   | 13.52m |  | 方    |                         |  | ハンマ  | 半自動型              |  |
| 総掘進長   | 25.45m |  | 地盤勾配 |                         |  | ポンプ  | ND40D             |  |
| 使用機種   |        |  | エンジン | EAI-N                   |  |      |                   |  |

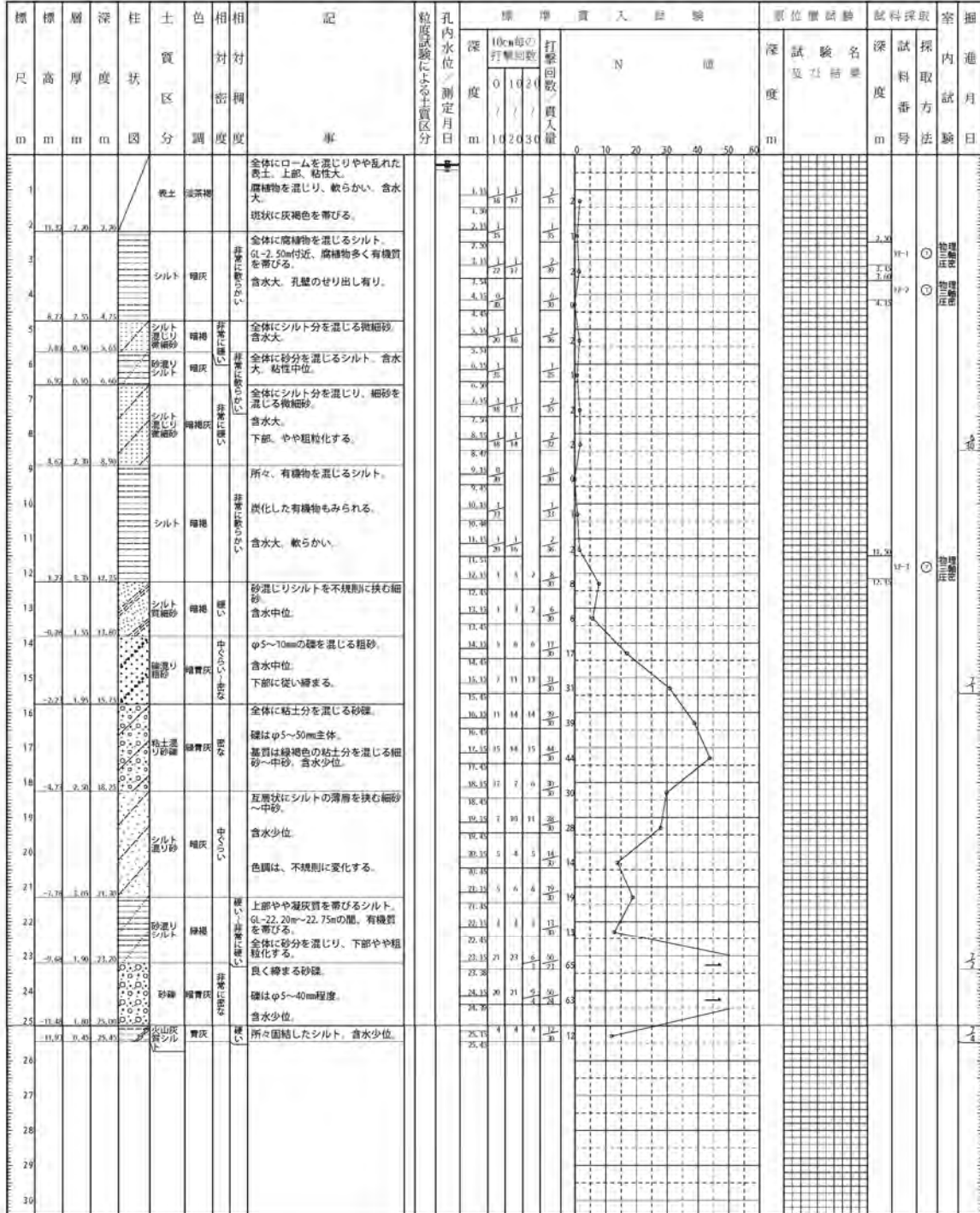


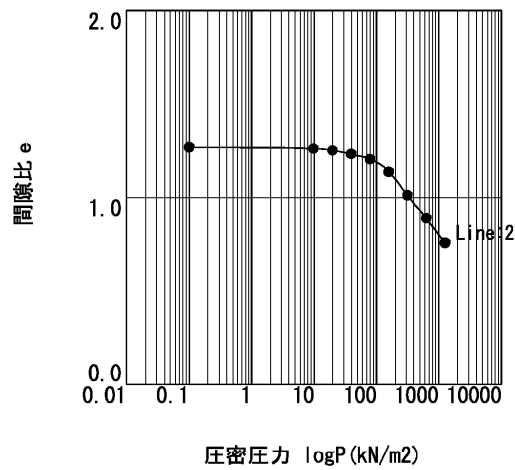
図 6.1.1-16 ボーリング柱状図(B-12)

## 6.2 予測条件

### 6.2.1 圧密試験結果

予測地点における圧密試験結果は、図 6.2.1-1(1)～5(5)に示すとおりである。

使用地層No : 1 3

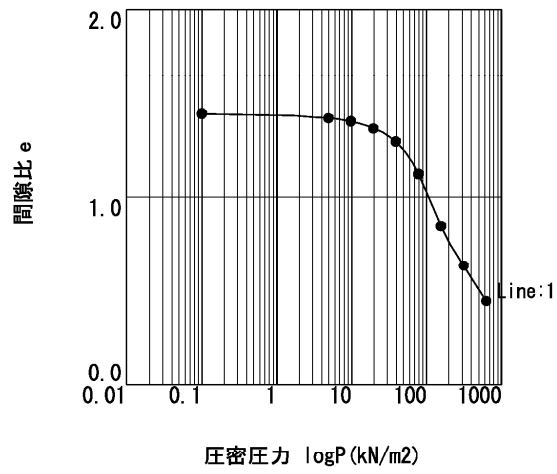


| No.                       | 1     | 2     | 3     | 4     | 5     | 6      | 7      | 8      |
|---------------------------|-------|-------|-------|-------|-------|--------|--------|--------|
| 圧密圧力 (kN/m <sup>2</sup> ) | 0.10  | 9.80  | 19.60 | 39.20 | 78.40 | 156.80 | 313.60 | 627.20 |
| 間隙比 e                     | 1.268 | 1.260 | 1.252 | 1.232 | 1.206 | 1.138  | 1.013  | 0.891  |

|                           |         |
|---------------------------|---------|
| No.                       | 9       |
| 圧密圧力 (kN/m <sup>2</sup> ) | 1254.40 |
| 間隙比 e                     | 0.760   |

図 6.2.1-1(1) No.1 圧密試験結果 e-log p 曲線

使用地層No : 2

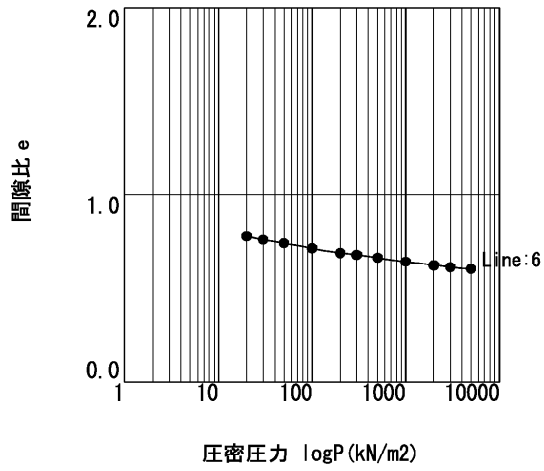


| No.                       | 1     | 2     | 3     | 4     | 5     | 6     | 7      | 8      |
|---------------------------|-------|-------|-------|-------|-------|-------|--------|--------|
| 圧密圧力 (kN/m <sup>2</sup> ) | 0.10  | 4.90  | 9.80  | 19.60 | 39.20 | 78.40 | 156.80 | 313.60 |
| 間隙比 e                     | 1.442 | 1.419 | 1.402 | 1.364 | 1.294 | 1.122 | 0.847  | 0.635  |

| No.                       | 9      |
|---------------------------|--------|
| 圧密圧力 (kN/m <sup>2</sup> ) | 627.20 |
| 間隙比 e                     | 0.444  |

図 6.2.1-1(2) No.1 圧密試験結果 e-log p 曲線

使用地層No : 4 6

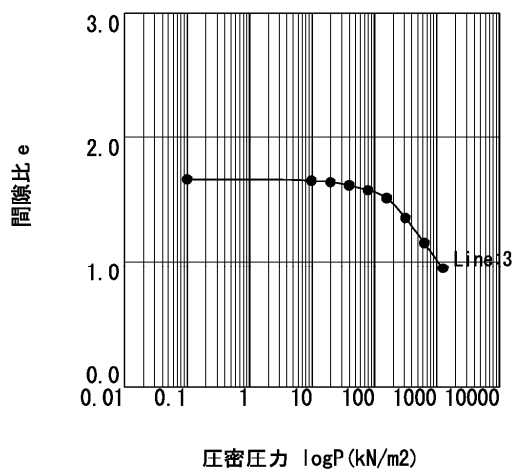


| No.                       | 1     | 2     | 3     | 4      | 5      | 6      | 7      | 8       |
|---------------------------|-------|-------|-------|--------|--------|--------|--------|---------|
| 圧密圧力 (kN/m <sup>2</sup> ) | 20.00 | 30.00 | 50.00 | 100.00 | 200.00 | 300.00 | 500.00 | 1000.00 |
| 間隙比 e                     | 0.780 | 0.760 | 0.742 | 0.714  | 0.688  | 0.678  | 0.662  | 0.640   |

| No.                       | 9       | 10      | 11      |
|---------------------------|---------|---------|---------|
| 圧密圧力 (kN/m <sup>2</sup> ) | 2000.00 | 3000.00 | 5000.00 |
| 間隙比 e                     | 0.621   | 0.611   | 0.600   |

図 6.2.1-1(3) No.1 圧密試験結果 e-log p 曲線

使用地層No : 5

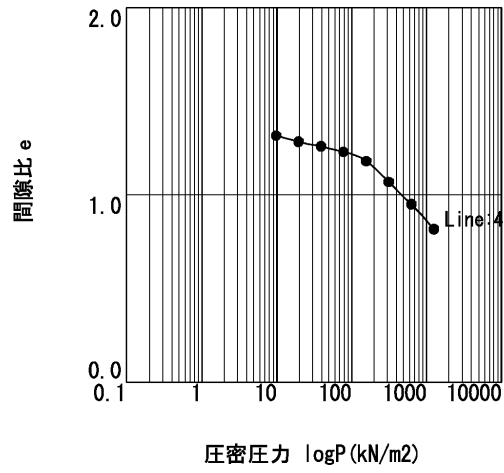


| No.                       | 1     | 2     | 3     | 4     | 5     | 6      | 7      | 8      |
|---------------------------|-------|-------|-------|-------|-------|--------|--------|--------|
| 压密压力 (kN/m <sup>2</sup> ) | 0.10  | 9.80  | 19.60 | 39.20 | 78.40 | 156.80 | 313.60 | 627.20 |
| 間隙比 e                     | 1.662 | 1.651 | 1.640 | 1.614 | 1.575 | 1.513  | 1.354  | 1.153  |

|                           |         |
|---------------------------|---------|
| No.                       | 9       |
| 压密压力 (kN/m <sup>2</sup> ) | 1254.40 |
| 間隙比 e                     | 0.947   |

図 6.2.1-1(4) No.1 压密試験結果 e-log p 曲線

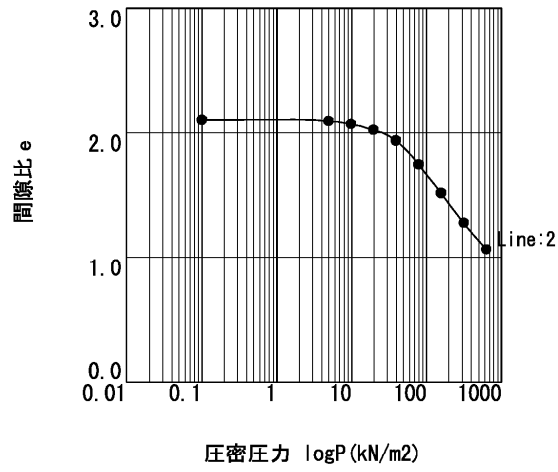
使用地層No : 7



| No.                       | 1     | 2     | 3     | 4     | 5      | 6      | 7      | 8       |
|---------------------------|-------|-------|-------|-------|--------|--------|--------|---------|
| 圧密圧力 (kN/m <sup>2</sup> ) | 9.80  | 19.60 | 39.20 | 78.40 | 156.80 | 313.60 | 627.20 | 1254.40 |
| 間隙比 e                     | 1.315 | 1.282 | 1.257 | 1.229 | 1.180  | 1.069  | 0.950  | 0.818   |

図 6.2.1-1(5) No.1 圧密試験結果 e-log p 曲線

使用地層No : 1 3 5



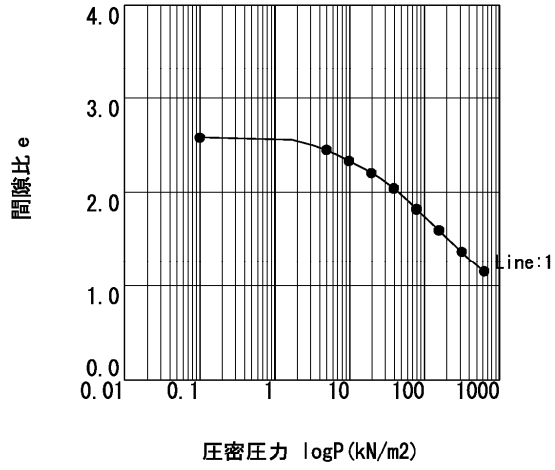
| No.          | 1     | 2     | 3     | 4     | 5     | 6     | 7      | 8      |
|--------------|-------|-------|-------|-------|-------|-------|--------|--------|
| 压密压力 (kN/m²) | 0.10  | 4.90  | 9.80  | 19.60 | 39.20 | 78.40 | 156.80 | 313.60 |
| 間隙比 e        | 2.102 | 2.092 | 2.070 | 2.024 | 1.939 | 1.747 | 1.519  | 1.280  |

|              |        |
|--------------|--------|
| No.          | 9      |
| 压密压力 (kN/m²) | 627.20 |
| 間隙比 e        | 1.070  |

図 6.2.1-2(1) No.2 压密試験結果 e-log p 曲線



使用地層No : 2

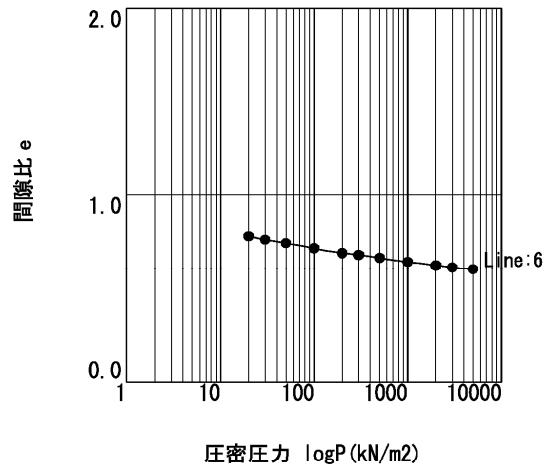


| No.                       | 1     | 2     | 3     | 4     | 5     | 6     | 7      | 8      |
|---------------------------|-------|-------|-------|-------|-------|-------|--------|--------|
| 压密压力 (kN/m <sup>2</sup> ) | 0.10  | 4.90  | 9.80  | 19.60 | 39.20 | 78.40 | 156.80 | 313.60 |
| 間隙比 e                     | 2.580 | 2.449 | 2.335 | 2.206 | 2.042 | 1.819 | 1.597  | 1.366  |

|                           |        |
|---------------------------|--------|
| No.                       | 9      |
| 压密压力 (kN/m <sup>2</sup> ) | 627.20 |
| 間隙比 e                     | 1.152  |

図 6.2.1-2(2) No.2 压密試験結果 e-log p 曲線

使用地層No : 4 6

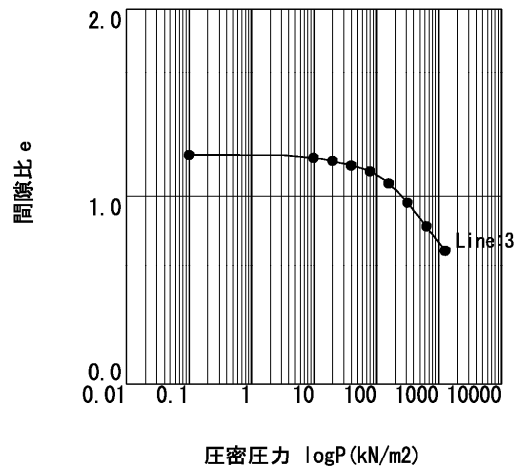


| No.                       | 1     | 2     | 3     | 4      | 5      | 6      | 7      | 8       |
|---------------------------|-------|-------|-------|--------|--------|--------|--------|---------|
| 圧密圧力 (kN/m <sup>2</sup> ) | 20.00 | 30.00 | 50.00 | 100.00 | 200.00 | 300.00 | 500.00 | 1000.00 |
| 間隙比 e                     | 0.780 | 0.760 | 0.742 | 0.714  | 0.688  | 0.678  | 0.662  | 0.640   |

| No.                       | 9       | 10      | 11      |
|---------------------------|---------|---------|---------|
| 圧密圧力 (kN/m <sup>2</sup> ) | 2000.00 | 3000.00 | 5000.00 |
| 間隙比 e                     | 0.621   | 0.611   | 0.600   |

図 6.2.1-2(3) No.2 圧密試験結果 e-log p 曲線

使用地層No : 7

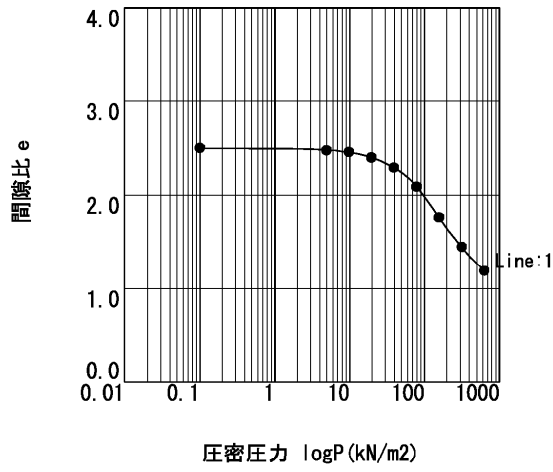


| No.                       | 1     | 2     | 3     | 4     | 5     | 6      | 7      | 8      |
|---------------------------|-------|-------|-------|-------|-------|--------|--------|--------|
| 压密压力 (kN/m <sup>2</sup> ) | 0.10  | 9.80  | 19.60 | 39.20 | 78.40 | 156.80 | 313.60 | 627.20 |
| 間隙比 e                     | 1.219 | 1.203 | 1.188 | 1.164 | 1.133 | 1.068  | 0.966  | 0.840  |

|                           |         |
|---------------------------|---------|
| No.                       | 9       |
| 压密压力 (kN/m <sup>2</sup> ) | 1254.40 |
| 間隙比 e                     | 0.712   |

図 6.2.1-2(4) No.2 压密試験結果 e-log p 曲線

使用地層No : 1 2

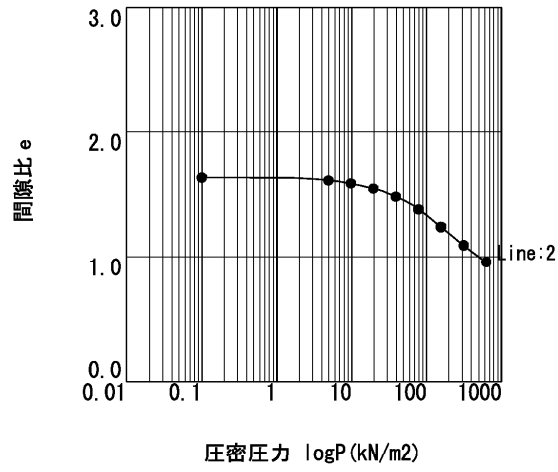


| No.                       | 1     | 2     | 3     | 4     | 5     | 6     | 7      | 8      |
|---------------------------|-------|-------|-------|-------|-------|-------|--------|--------|
| 压密压力 (kN/m <sup>2</sup> ) | 0.10  | 4.90  | 9.80  | 19.60 | 39.20 | 78.40 | 156.80 | 313.60 |
| 間隙比 e                     | 2.501 | 2.479 | 2.457 | 2.401 | 2.294 | 2.092 | 1.765  | 1.449  |

|                           |        |
|---------------------------|--------|
| No.                       | 9      |
| 压密压力 (kN/m <sup>2</sup> ) | 627.20 |
| 間隙比 e                     | 1.192  |

図 6.2.1-3(1) No.3 压密試験結果 e-log p 曲線

使用地層No : 3

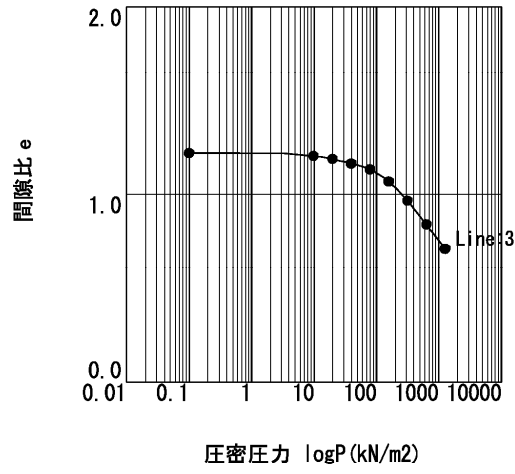


| No.          | 1     | 2     | 3     | 4     | 5     | 6     | 7      | 8      |
|--------------|-------|-------|-------|-------|-------|-------|--------|--------|
| 圧密圧力 (kN/m²) | 0.10  | 4.90  | 9.80  | 19.60 | 39.20 | 78.40 | 156.80 | 313.60 |
| 間隙比 e        | 1.635 | 1.612 | 1.588 | 1.547 | 1.484 | 1.382 | 1.240  | 1.093  |

|              |        |
|--------------|--------|
| No.          | 9      |
| 圧密圧力 (kN/m²) | 627.20 |
| 間隙比 e        | 0.955  |

図 6.2.1-3(2) No.3 圧密試験結果 e-log p 曲線

使用地層No : 4

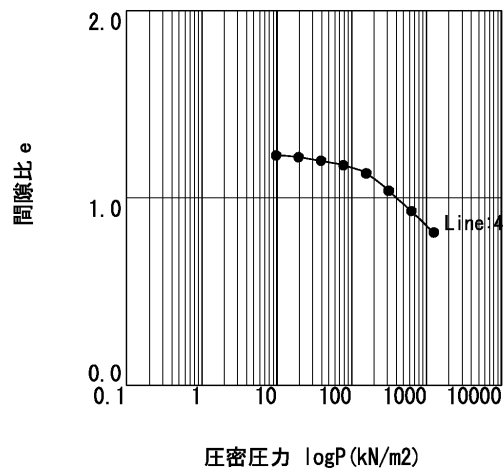


| No.                       | 1     | 2     | 3     | 4     | 5     | 6      | 7      | 8      |
|---------------------------|-------|-------|-------|-------|-------|--------|--------|--------|
| 压密压力 (kN/m <sup>2</sup> ) | 0.10  | 9.80  | 19.60 | 39.20 | 78.40 | 156.80 | 313.60 | 627.20 |
| 間隙比 e                     | 1.219 | 1.203 | 1.188 | 1.164 | 1.133 | 1.068  | 0.966  | 0.840  |

|                           |         |
|---------------------------|---------|
| No.                       | 9       |
| 压密压力 (kN/m <sup>2</sup> ) | 1254.40 |
| 間隙比 e                     | 0.712   |

図 6.2.1-3(3) No.3 压密試験結果 e-log p 曲線

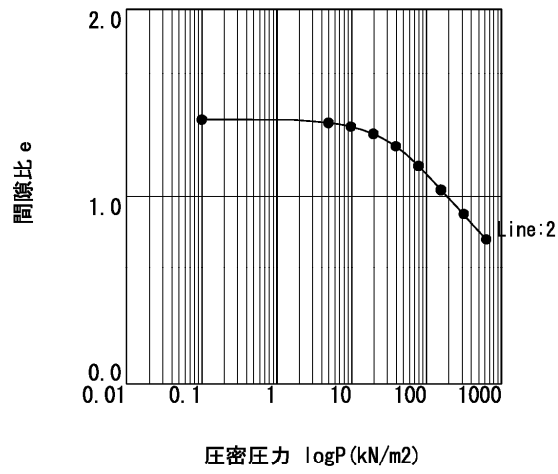
使用地層No : 5



| No.          | 1     | 2     | 3     | 4     | 5      | 6      | 7      | 8       |
|--------------|-------|-------|-------|-------|--------|--------|--------|---------|
| 压密压力 (kN/m²) | 9.80  | 19.60 | 39.20 | 78.40 | 156.80 | 313.60 | 627.20 | 1254.40 |
| 間隙比 e        | 1.226 | 1.216 | 1.197 | 1.173 | 1.130  | 1.038  | 0.929  | 0.816   |

图 6.2.1-3(4) No.3 压密試驗結果 e-log p 曲線

使用地層No : 1 3



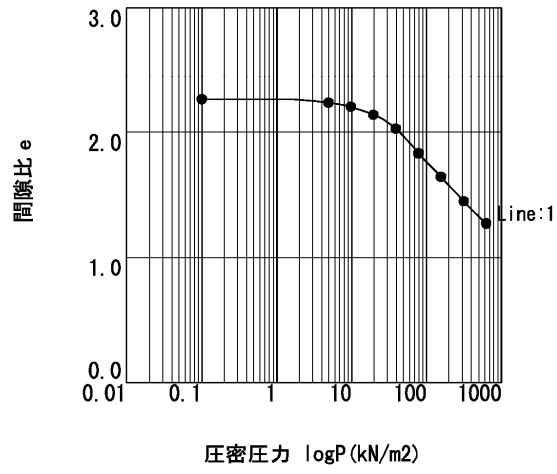
| No.          | 1     | 2     | 3     | 4     | 5     | 6     | 7      | 8      |
|--------------|-------|-------|-------|-------|-------|-------|--------|--------|
| 圧密圧力 (kN/m²) | 0.10  | 4.90  | 9.80  | 19.60 | 39.20 | 78.40 | 156.80 | 313.60 |
| 間隙比 e        | 1.409 | 1.391 | 1.371 | 1.333 | 1.266 | 1.162 | 1.034  | 0.906  |

|              |        |
|--------------|--------|
| No.          | 9      |
| 圧密圧力 (kN/m²) | 627.20 |
| 間隙比 e        | 0.772  |

図 6.2.1-4(1) No.4 圧密試験結果 e-log p 曲線



使用地層No : 2

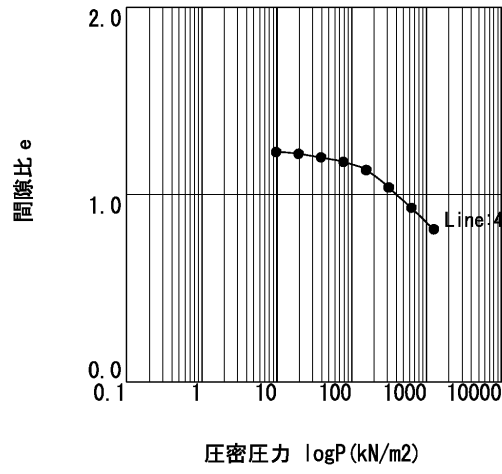


| No.                       | 1     | 2     | 3     | 4     | 5     | 6     | 7      | 8      |
|---------------------------|-------|-------|-------|-------|-------|-------|--------|--------|
| 压密压力 (kN/m <sup>2</sup> ) | 0.10  | 4.90  | 9.80  | 19.60 | 39.20 | 78.40 | 156.80 | 313.60 |
| 間隙比 e                     | 2.261 | 2.234 | 2.201 | 2.138 | 2.028 | 1.831 | 1.643  | 1.451  |

|                           |        |
|---------------------------|--------|
| No.                       | 9      |
| 压密压力 (kN/m <sup>2</sup> ) | 627.20 |
| 間隙比 e                     | 1.272  |

図 6.2.1-4(2) No.4 压密試験結果 e-log p 曲線

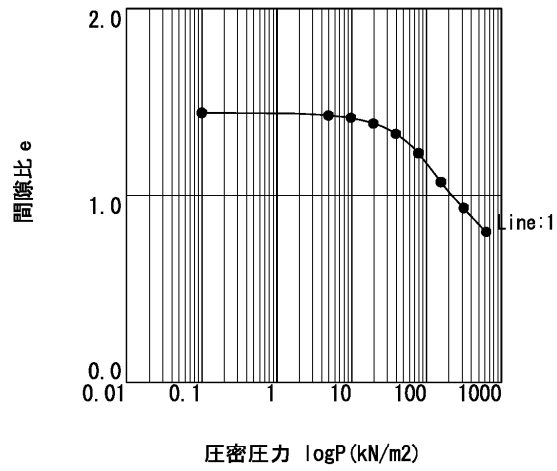
使用地層No : 5



| No.          | 1     | 2     | 3     | 4     | 5      | 6      | 7      | 8       |
|--------------|-------|-------|-------|-------|--------|--------|--------|---------|
| 压密压力 (kN/m²) | 9.80  | 19.60 | 39.20 | 78.40 | 156.80 | 313.60 | 627.20 | 1254.40 |
| 間隙比 e        | 1.226 | 1.216 | 1.197 | 1.173 | 1.130  | 1.038  | 0.929  | 0.816   |

图 6.2.1-4(3) No.4 压密試驗結果 e-log p 曲線

使用地層No : 1 2

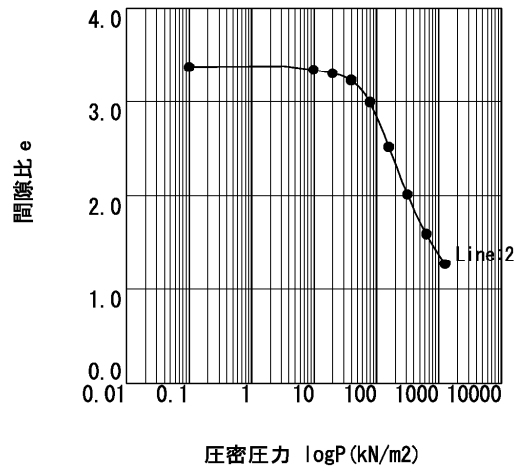


| No.                       | 1     | 2     | 3     | 4     | 5     | 6     | 7      | 8      |
|---------------------------|-------|-------|-------|-------|-------|-------|--------|--------|
| 圧密圧力 (kN/m <sup>2</sup> ) | 0.10  | 4.90  | 9.80  | 19.60 | 39.20 | 78.40 | 156.80 | 313.60 |
| 間隙比 e                     | 1.440 | 1.427 | 1.414 | 1.384 | 1.329 | 1.225 | 1.071  | 0.933  |

|                           |        |
|---------------------------|--------|
| No.                       | 9      |
| 圧密圧力 (kN/m <sup>2</sup> ) | 627.20 |
| 間隙比 e                     | 0.805  |

図 6.2.1-5(1) No.5 圧密試験結果 e-log p 曲線

使用地層No : 3

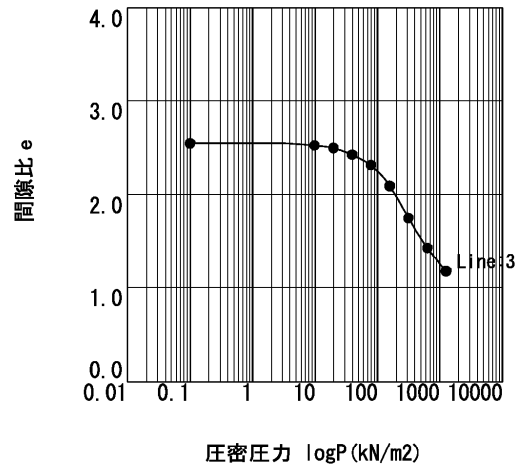


| No.                       | 1     | 2     | 3     | 4     | 5     | 6      | 7      | 8      |
|---------------------------|-------|-------|-------|-------|-------|--------|--------|--------|
| 圧密圧力 (kN/m <sup>2</sup> ) | 0.10  | 9.80  | 19.60 | 39.20 | 78.40 | 156.80 | 313.60 | 627.20 |
| 間隙比 e                     | 3.375 | 3.344 | 3.305 | 3.228 | 2.994 | 2.518  | 2.015  | 1.592  |

|                           |         |
|---------------------------|---------|
| No.                       | 9       |
| 圧密圧力 (kN/m <sup>2</sup> ) | 1254.40 |
| 間隙比 e                     | 1.271   |

図 6.2.1-5(2) No.5 圧密試験結果 e-log p 曲線

使用地層No : 4

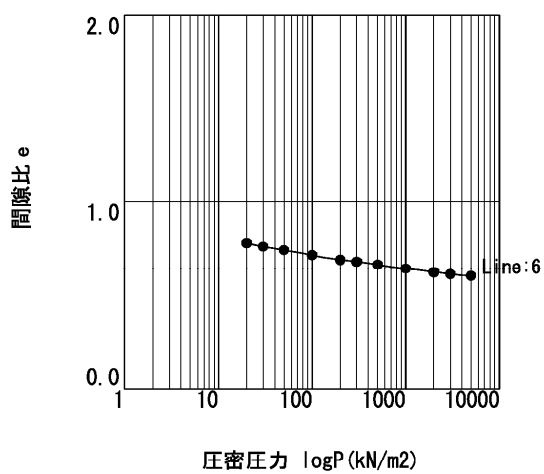


| No.                       | 1     | 2     | 3     | 4     | 5     | 6      | 7      | 8      |
|---------------------------|-------|-------|-------|-------|-------|--------|--------|--------|
| 圧密圧力 (kN/m <sup>2</sup> ) | 0.10  | 9.80  | 19.60 | 39.20 | 78.40 | 156.80 | 313.60 | 627.20 |
| 間隙比 e                     | 2.545 | 2.524 | 2.496 | 2.425 | 2.313 | 2.091  | 1.750  | 1.430  |

|                           |         |
|---------------------------|---------|
| No.                       | 9       |
| 圧密圧力 (kN/m <sup>2</sup> ) | 1254.40 |
| 間隙比 e                     | 1.174   |

図 6.2.1-5(3) No.5 圧密試験結果 e-log p 曲線

使用地層No : 5

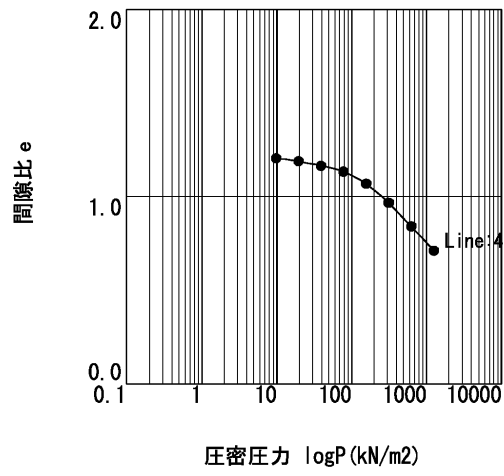


| No.                       | 1     | 2     | 3     | 4      | 5      | 6      | 7      | 8       |
|---------------------------|-------|-------|-------|--------|--------|--------|--------|---------|
| 压密压力 (kN/m <sup>2</sup> ) | 20.00 | 30.00 | 50.00 | 100.00 | 200.00 | 300.00 | 500.00 | 1000.00 |
| 間隙比 e                     | 0.780 | 0.760 | 0.742 | 0.714  | 0.688  | 0.678  | 0.662  | 0.640   |

| No.                       | 9       | 10      | 11      |
|---------------------------|---------|---------|---------|
| 压密压力 (kN/m <sup>2</sup> ) | 2000.00 | 3000.00 | 5000.00 |
| 間隙比 e                     | 0.621   | 0.611   | 0.600   |

図 6.2.1-5(4) No.5 压密試験結果 e-log p 曲線

使用地層No : 6



| No.                       | 1     | 2     | 3     | 4     | 5      | 6      | 7      | 8       |
|---------------------------|-------|-------|-------|-------|--------|--------|--------|---------|
| 压密压力 (kN/m <sup>2</sup> ) | 9.80  | 19.60 | 39.20 | 78.40 | 156.80 | 313.60 | 627.20 | 1254.40 |
| 間隙比 e                     | 1.203 | 1.188 | 1.164 | 1.133 | 1.068  | 0.966  | 0.840  | 0.712   |

图 6.2.1-5(5) No.5 压密試驗結果 e-log p 曲線

